

Løsningsforslag eksamen i TTK4105 reguleringsteknikk, 24. mai 2005

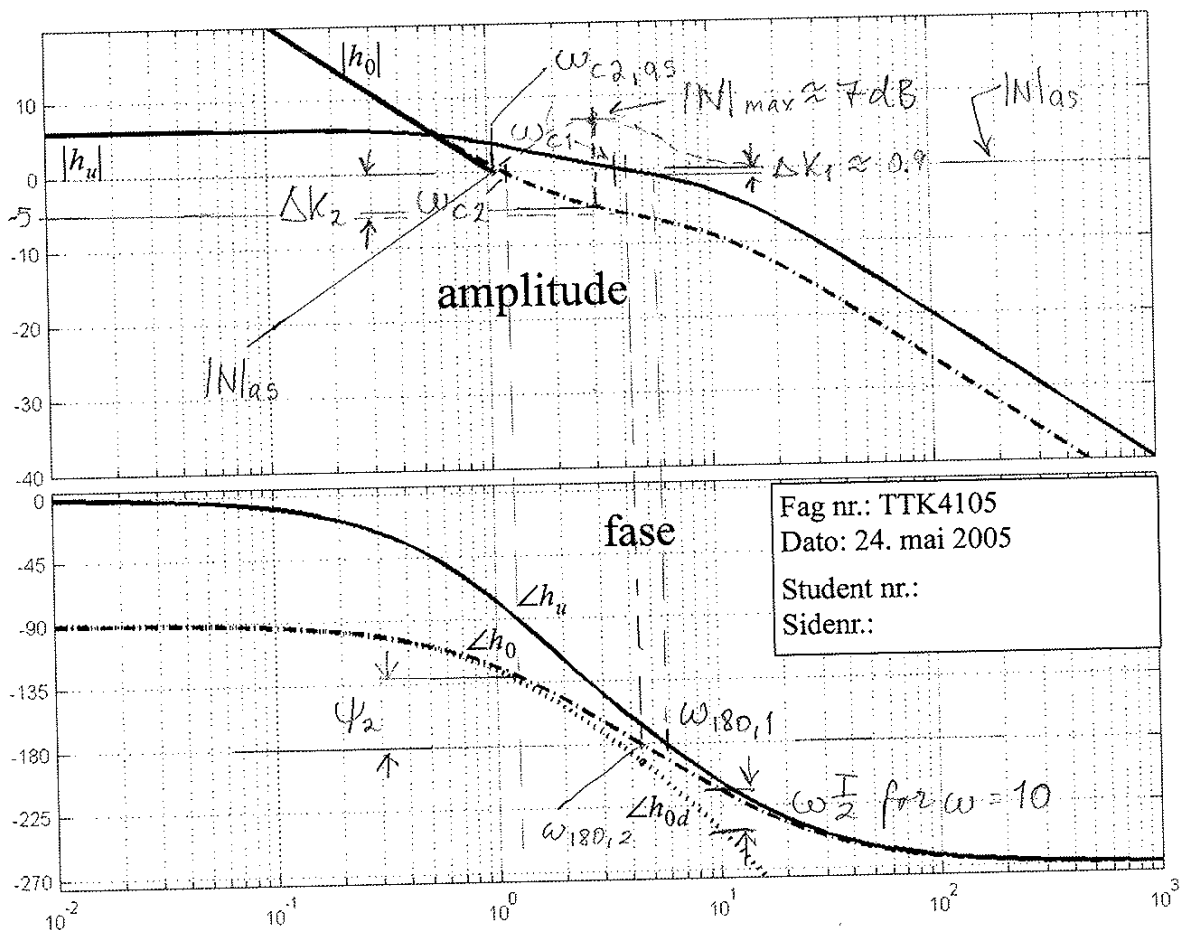
1a) Amplituden knekken opp mens fasen fortsetter å falle rundt $\omega \approx 3$: Vi har et ledd av typen $1-T_2s$ i teller.

Prøver $h_u = K \frac{1-T_2s}{(1+T_1s)(1+T_3s)}$, med $T_1 > T_2 > T_3$.

$\angle h_u(0) = 0$, $\angle h_u(j\infty) = -270^\circ$, stemmer med grafen!

$|h_u(0)| = 6 \text{ dB} \Rightarrow K = \underline{2}$. $|h_u(j\omega)|_{\omega \gg 1}$ faller med (-1) , stemmer også med grafen!

1b) ω_{c1} er for nær $\omega_{180,1}$. Forsterkningsmargin ΔK_1 blir for liten. Systemet er nesten ustabilt.



1) Start systemet med P-regulator og liten k_p .

De K_p grader til systemet kommer i en stærke
svingning. Vi finder $\omega_{180} \approx 5.7$. Tabell V.12

gini da $T_i = T_k / 1.2 = \frac{2\pi}{\omega_{180}} / 1.2 = \frac{2\pi}{5.7} / 1.2 = \underline{\underline{0.92}}$

$$K_p = 0,45 K_{p,krit} = 0,45 \cdot 10^{\frac{\Delta K_1}{20}} = 0,45 \cdot 10^{0,8/20} = \underline{\underline{0,495 \approx 0,5}}$$

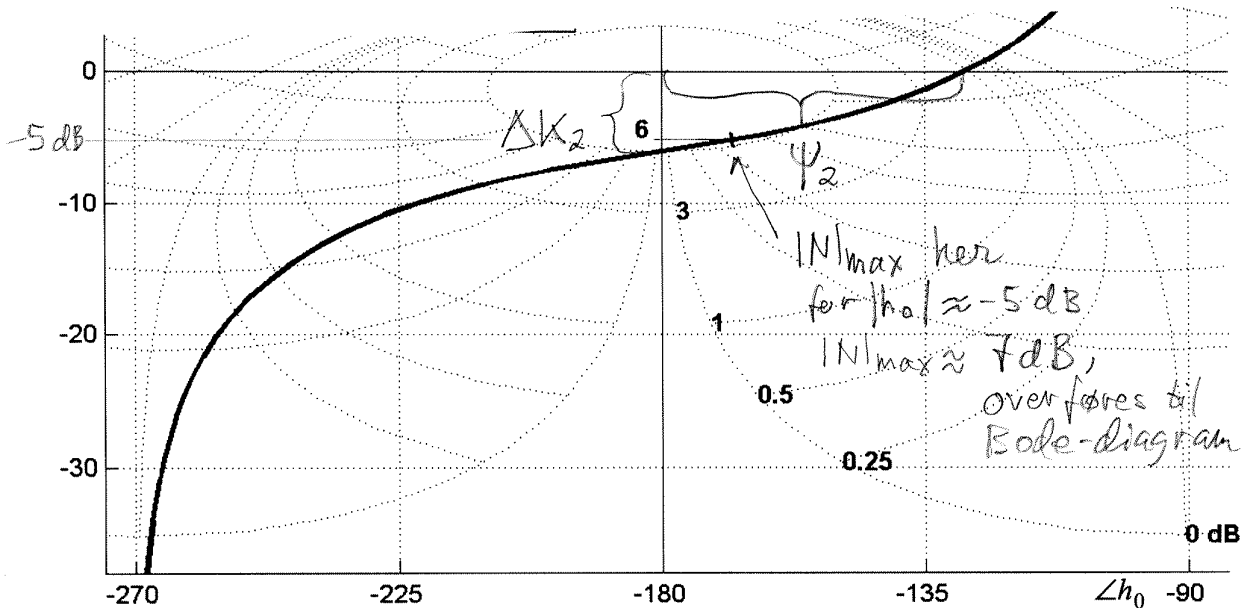
(Grafene er basert på $T_i = 0.85 \cdot T_k \approx T_k / 1.2$; jeg brukte tilfeldigvis denne varianten da jeg laget grafene. Dette har minimal betydning).

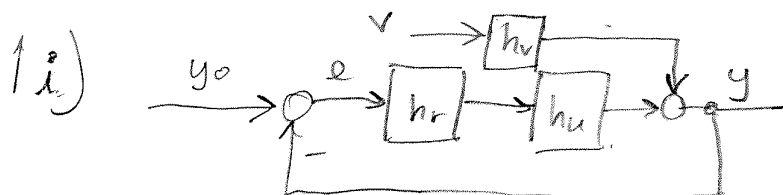
1d) Fra grafen: $\Delta K_2 \approx \underline{\underline{6\text{dB}}}$, $\psi_2 \approx \underline{\underline{51^\circ}}$

1e) $\angle h_o(0) = \angle h_u(0) - 90^\circ$, fordi $\angle h_r(0) = -90^\circ$
p.g.a. integratoren i nevneren. $\angle h_o(j\infty) = \angle h_u(j\infty)$ fordi
PI-regulatoren $\rightarrow K_p$ når $\omega \rightarrow \infty$.

$$1f) |h_o(j\omega)|_{as, \omega \ll 1} = \frac{K_p K}{T_i \omega} \Rightarrow \omega_{c2, as} = \underline{\underline{\frac{K_p K}{T_i}}}$$

1g) se figur forrige side.





$$\text{avviksforhold} = \frac{e}{y_0} = N = \frac{1}{1+h_r h_u} = \frac{1}{1+h_o}$$

reguleringsgrad: $y_{uten} = h_v \cdot v$, $y_{med} = h_v \cdot N \cdot v$

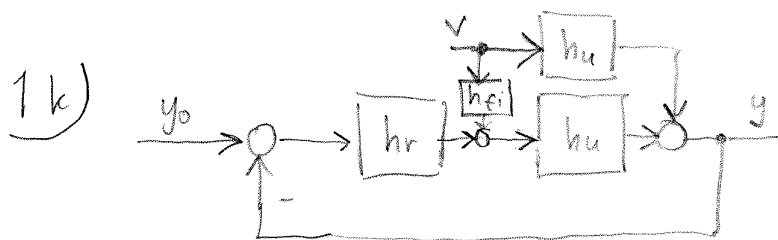
$$\frac{y_{med}}{y_{uten}} = N$$

"Med" refererer seg her til "ved til-
bake kopling."

1 j) Vi har allerede, for diskret regulering,

$\Delta K_2 = 6 \text{ dB}$, $\psi_2 = 51^\circ$, $|N|_{\max} = 7 \text{ dB}$. Av grafen ser vi at $\angle h_{od}$ er merkbart mer negativ nær $\omega_{180,2}$ (dvs. for $\angle h_o$). Siden ΔK_2 er på grensen for det vi vil akseptere og $|N|_{\max}$ er noe over allerede, bør vi gå noe ned med trestetiden for å få $\angle h_{od} \approx \angle h_o$ i dette området.

Leser av $\omega \frac{T}{2}$ for $\omega = 10$: $\frac{10T}{2} \approx 30^\circ \frac{\pi}{180^\circ} = \frac{\pi}{6} \Rightarrow \underline{\underline{T \approx 0.1}}$



Vi krever $h_{fi} h_u + h_u = 0 \Rightarrow \underline{\underline{h_{fi} = -1}}$

2a) Grafen omfatter det kritiske punkt

$$2 \text{ gange } \underbrace{V_i}_{\text{med uvrisset}}; \Delta \angle(1+h_0) = -4\pi$$

V_i har ingen poler i h.h.p. for $h_0 \Rightarrow N_p = 0$

(V.9) gir oss $\Delta \angle(1+h_0) = -2\pi(N_n - N_p)$.

Sætter inn: $-4\pi = -2\pi(N_n - 0)$

$\Rightarrow N_n = 2$. Systemet er ustabil med 2 poler i h.h.p. for det lukkede system.

2b) Reduserer den indre sløyfa først

$$h_1 = \frac{\frac{k_2}{s(1+Ts)}}{1 + \frac{Kk_2}{s(1+Ts)}} = \frac{k_2}{Ts^2 + s + Kk_2}$$

h_0 blir nå: $h_0 = \frac{k_1 k_2}{Ts^3 + s^2 + Kk_2 s} = \frac{t_0}{n_0}$

Det karakteristiske polynom = nevneren i $\frac{y}{y_0}(s) =$

$$n_0 + t_0 = Ts^3 + s^2 + Kk_2 s + k_1 k_2$$

Rouths tabell blir da:

$$\begin{array}{cc} T & Kk_2 \\ 1 & k_1 k_2 \end{array}$$

$$\frac{Kk_2 - Tk_1 k_2}{k_1 k_2} \Rightarrow \underline{\underline{K > k_1 T}}$$

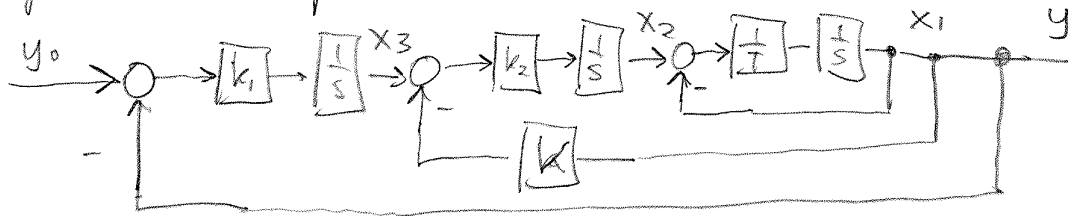
$$k_1 k_2$$

2c) Vi har en integrator i h_0 . Vi kan forvente $0 < e(\infty) < \infty$. Regner ut:

$$e(\infty) = \lim_{s \rightarrow 0} s e(s) = \lim_{s \rightarrow 0} s \left[\underbrace{\frac{n_0}{n_0 + t_0}}_N \cdot y_0(s) \right] = \lim_{s \rightarrow 0} \left(s \frac{Ts^3 + s^2 + Kk_2 s}{Ts^3 + s^2 + Kk_2 s + k_1 k_2} \cdot \frac{1}{s^2} \right) = \underline{\underline{K/k_1}}$$

- side 5 -

2d) figur 2.1 omformet:



$$\Rightarrow A = \begin{bmatrix} -\frac{1}{T} & \frac{1}{T} & 0 \\ -k_2 K & 0 & k_2 \\ -k_1 & 0 & 0 \end{bmatrix}, \quad \underline{b} = \begin{bmatrix} 0 \\ 0 \\ k_1 \end{bmatrix}, \quad \underline{c}^T = [1 \ 0 \ 0]$$

fasevariabel form er også en metode som afsejeres her: Fra b) kan vi

$$\frac{y}{y_0}(s) = \frac{t_0}{n_0 + t_0} = \frac{k_1 k_2}{T s^3 + s^2 + K k_2 s + k_1 k_2} \cdot \text{V.13 gir da}$$

$$A = \begin{bmatrix} 0 & 1 & 0 \\ 0 & 0 & 1 \\ -\frac{k_1 k_2}{T} & -\frac{K k_2}{T} & -\frac{1}{T} \end{bmatrix}, \quad \underline{b} = \begin{bmatrix} 0 \\ 0 \\ 1 \end{bmatrix}, \quad \underline{c}^T = \begin{bmatrix} \frac{k_1 k_2}{T} & 0 & 0 \end{bmatrix}$$

2e) For små y forsvinner virkningerne af tilbakeløpene via K . Da er systemet ustabil \Rightarrow Systemet kan ikke komme til ro i $y=0$. På den anden side vil stor y svare til en kraftig tilbakeløpning via K , da er systemet stabilt og vil ikke svinge sig ud med uendelig amplitude: $0 < y(t) < \infty$!